

kuartz kristalli basit bir bant söndüren süzgeç

Fikret YÜCEL

UDK: 621.313.1 7-5

ÖZET

Frekans bandı bölmeli multipleks sistemlerinde (FDM) telekontrol ve telemetre amacı ile kullanılan özel ölçü ve kumanda frekanslarını rahatsız edebilecek ve band içinde bulunan bazı işaretlerin gayet dar bandlı band söndüren süzgeçlerle durdurulması gerekmektedir. Bu makalede bu amaçla kullanılmaya uygun basit bir band söndüren süzgeçin nasıl hesaplanacağı gösterilmiştir ve Jbir örneğe uygulanmıştır.

SUMMARY

in frequency division multiplex (FDM) systems, it is required the in-band signals that are likely to disturb the measuring and control frequencies serving the purpose of remote measurement and control, by means of rather narrow band-stop filters. in this article, it has been described how to calculate a simple band-stop filter suitable for this purpose, illustrated with an application.

1. GİRİŞ

Frekans bandını bölmeye yöntemi ile çalışan räültipleks sistemlerinde (FDM) muhettelif haber kanalları demetlerine tekabül eden frekans bandlarına, haberler arası boşluklara, çeşitli telekontrol ve telemetre amacı ile pilot frekansları yerleştirilir, örneğin nakil ortamındaki değişiklikleri karşılamak üzere otomatik seviye ayarı ve ana osilatörler arası senkronizasyon sağlama için birçok pilot frekansı kullanılmaktadır.

Haber demetlerine ait frekans bandları içinde, haberler arası boşluklarda, bunlara zarar vermeyecek derecede kaldıkça bulunmasına izin verilen bazı işaretler vardır. Bu banda yerleştirilen pilot frekanslarının doğru kumanda ve ölçü yapabilmeleri için aynı veya yakın frekansta işaretlerin pilot frekansı seviyesinin yeteri kadar altında olması sağlanmalıdır, örneğin bir pilot frekansının 20 dB- altında bulunan aynı frekanslı bir işaret bunun seviyesini en kötü halde *0,82 dB, 26 dB altında bulunan bir işaret ise *0,41 dB düşürtür.

Fikret Yücel, Y. Müh., PTT Araştırma Laboratuvarı, İstanbul.

Havai hat telefon kuranportör sisteme- rinde bazı firmalar bu arada PTT Araştırma Laboratuvarı 4 kHz'in tam katı frekanslara sahip eğim ve zayıflama pilotları kullanmaktadır. Kanallar arası boşlukta 4kHz'in tam katları olarak bulunan zahiri taşıyıcı sızmaları bu frekanslarla çakışır. Taşıyıcı sızmaları hakkında CCITT tarafından yapılan tavsiye (CCITT, Beyaz Kitap, Cilt III, G.225, Mar de Pla-ta, 1968) bunların her birinin seviyesinin -26 dBm0'yu geçmemesidir. Pilot seviyelerilarındaki tavsiye ise bunların -20 dBm0 olmasıdır. Görülüyor ki, bir havai hat sistemi hat teçhizatına uygulanan bir kanal transfer teçhizatı daha sonra zerkedilecek olan pilot frekanslarına eşit frekansta ve onlardan sadece 6 dB dana düşük seviyede taşıyıcı sızmalarına sahip olabilir. Bunun ise hatta uygulanan seviyesinin sabit kalması için özel tedarikler alınan pilot frekansları için, özellikle taşıyıcı ve pilot frekanslarının ayrı osilatörlerden temin edilmesi halinde, doğuracağı sakıncalar açıklır.

Başka örnekler grup ve süpergrup pilotlarıdır, işaretleşme için 3825 ve 3850 Hz gibi band dışı frekanslar kullanıldığı ve otomatik seçmede olduğu gibi bu frekanslar -10 Hz lik DA darbeler ile modüle edildiği halde B-ana grubu çıkışında 6 kanaldan (84 - 88 kHz) çağrıma işaretin gonderilmesi halinde 10 Hz lik darbelerin

harmoniklerinden ötürü grup pilot frekan-

sına (84080 ve 84135 Hz) eşit veya yakın
frekansta işaretler meydana gelir. Aynı
durum ana süpergrup bandında 3. grubun 1
kanalından (308 - 312 kHz) otomatik işa-
retleşme yapılması halinde süpergrup pi-
lotu (411,920 kHz) için de geçerlidir.

Bu örnekleri çoğaltmak mümkündür. Genel-
likle kanal transfer teçhizatının bağlan-
diği daha sonraki cihaz kademesi girişin-
de, ilerde uygulanacak pilot frekansları
ile aynı frekansa sahip rahatsız edici i-
şaretler söndürülür. Bu amaçla çok dar
bandlı band söndüren (BS) süzgeçlere ih-
tiyaç duyulur. Söndürülecek bandın faydalı
bandın içinde bulunması dolayısıyla bu
süzgeçlerin bir genlik bozulmasına sebep
olmaması istenir. Öte yandan süzgemin sön-
dürüdüğü dar bantta çevre değişikliklerine
karşı kararlılık aranır. Bütün bu şart-
lar bu süzgeçlerin kuartz kristalli
olmasını gerektirmektedir. Genellikle, sön-
dürülen bandda (*5 kHz) sağlanmak istenen
efektif zayıflama 20 - 25 dB kadar oldu-
ğundan süzgemin en basit şekilde oluşturma-
ası da arzu edilir.

Aşağıda bu amaçla kullanılabilen basit
bir kuartz kristalli süzgemin nasıl he-
saplanacağı gösterilmekte ve bir örneğe
uygulanmaktadır.

2. ÜÇ KESİM FREKANSLI SÜZGEÇ

Şekil 1 deki gibi bir iki kollu dörtuçlu-
da

$$\text{Th}^2 F = Z_j / (Z_x + Z_2) \quad (1)$$

$$(Z! / Z_2)$$

$$Z^2 = \quad (2)$$

$$Z_2 \{ 1 + (Z! / Z_2) \}$$

olduğu bilinmektedir. Burada F görüntü
transfer katsayısı, Z_1 ve Z_T ise iki
tarafa ait görüntü empedanslarıdır.

Şekil 1.

Z_j nin pay ve paydasının sıfırları ke-
sim frekanslarıdır. Buna göre, Z_j , $Z^2 + Z_2$
ve $1/Z_2$ nin sıfırları kesim frekanslarını
verir. Z_j ve Z_2 empedanslarının reak-tif
olduğunu varsayıyoruz.

Şekil 2.

Şekil 3.

Şekil 2 de bir kuartz kristalin eşdeğer
devresi görülmektedir. $1\backslash$ empedansının
böyle bir kuartz kristal ile teşkili ha-
linde şekil 3 teki iki kollu dörtuçlu ile
üst geçiren (ÜG) tipi bir BS süzgeç elde
edilir. Bu süzgece ait Z_1 ve $-Z_2$ empedans
değişimleri ile buna göre saptanan görüntü
zayıflaması değişimi şekil 4 teditir.

Buradan görülmüyor ki, süzgemin $Z\backslash$ ve
 $Z1+Z2$ nin sıfırlarına tekabül eden f_1 , f_2
ve f_3 gibi üç kesim frekansı vardır. Z_2
nin sınırlı kaldığı f_{∞} noktasında Z_j bir
kutba sahip olup bu, aynı zamanda zayıf-
lama kutbuludur. $Z\backslash$ bir kuartz kristal ile
teşkil edildiğine göre, f_2 ve f_{∞} birbirine
çok yakındır.

Şekil 6.

Şekil 4.

Görülüyor ki birinci süzgeçte f_2-f_3 bandı, ikinci süzgeçte ise f_1-f_2 bandı söndürülmektedir. Üç kesim frekansına sahip iki kolluların sayısını çoğaltmak ve bunlardan başka süzgeçler türetmek mümkündür. Fakat burada gösterilen iki süzgeç bunların en basitleridir.

Tek bir kuartz kristal ile teşkil edilecek ir ve T hücreleri 1. de açıklanan amaçlar için çoğu zaman yeterlidir. Buna göre ÜG tipten bir BS süzgeç şekil 7a ve b deki, ÂG tipten bir BS süzgeç ise şekil 8a ve b deki gibi olur.

Şekil 5.

Şekil 5 de alt geçiren (ÂG) tipi bir BS süzgeç görülmektedir. Buna ait empedans ve zayıflama değişimleri ise şekil 6'dır. Bu da Z_1/Z_2 ve Z_1+Z_2 nin sıfırları ile çakışan f_1 , f_2 ve f_3 gibi üç kesim frekansına sahip bir süzgectir. Z_2 nin sıfırını teşkil eden f^* , zayıflama kutsadır. Bu noktada Z_1 sıfırdan farklı sonlu bir değere sahiptir.

IP-11-1
M c_{1/2}-
—<<—T

Şekil. 7

(*)

landığı frekanslardan yeteri kadar uzakta seçilmiş olması gereklidir. Üçüncü kesim frekansı da haber demetine ait sınır frekansından yeteri kadar uzakta bulunmalıdır. ÜG tipte f_1 haberler bandının alt sınırından, AĞ tipte ise f_3 haberler bandının üst sınırından yeteri kadar uzakta olmalıdır. Bu surette efektif zayıflamada empedans uygunsuzluğu dolayısıyla meydana gelebilecek genlik bozulması önlenmiş olur. ÜG tipte uçlardaki empedanslar Z^+ , AĞ halinde ise Z olduğundan şekilde 9 ve şekilde 10 da sırasıyla bunlara ait değişimler gösterilmiştir. Bu değişimler (2) ve (3) denklemleri ile şekilde 5 göz önünde bulundurularak elde edilmiştir. ÜG halinde f_t ve AĞ halinde ise f_3 ün seçiminde bu değişimler göz önünde bulundurulur. Şekil 9 ve 10 da noktalı çizgiler empedansın sanal olduğu halde kullanılmaktadır.

-0

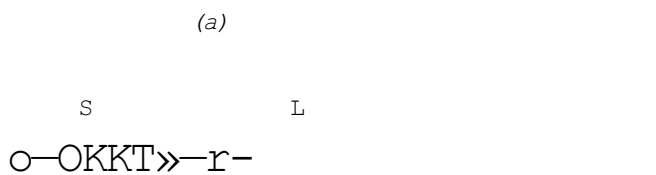
-0/2

(b)

-2/2

Sekil 7.

$2C_2$



ÇeJtil 8.

3. HESAP YOLU

Söndürülecek bant, haber demetine ait geçecek bandın içinde, haberler arası boşlukta bulunmaktadır. ÜG tipte bu bant f_2-f_3 , AĞ tipte ise f_3-f_2 sınırlarına sahiptir. Bu sebeple haberler arası boşlukta bulunması ve haberlerin fiilen kul-

Sekil 9.

TT" 2< r.
T O<

Eza

Sekil 10.

a. ÜG tipte band söndüren süzgeç

Şekil 1, şekil 3 ve şekil 4 göz önünde bulundurularak

$$s(s^2 + s^2)$$

$$Z_2 = k_2 s \quad (5)$$

yazılabilir. Burada $s = jo_>$, k_1 ve k_2 ise pozitif gerçek katsayılardır.

(1) ifadesi ve şekil 4 e göre $s = jo_>_1$ ve $s = jo_>_3$ için $Z_1 = -Z_2$ olduğu göz önünde bulundurularak (4) ve

(5) den f_3 için -

$$-f_3$$

$$(f_1^2 - f_3^2)$$

$$+ ff fi (f_1^2 - f_3^2) = 0 \quad (6)$$

denklemi bulunur. (6) dan ise

$$f_3 = -f_2 / (f_1^2 - f_2^2) \quad (7)$$

elde edilir. Seçilen f_1 , f_2 ve f_w yardımı ile hesap edilen f_3 frekansı söndürülmek istenen bandın içinde kalmalı ve haber tarafında kullanılan frekans bandından kâfi uzaklıkta olmalıdır.

Sabit K lı bir süzgeç elde etmek üzere örneğin haberlere ayrılan bandın iki sınırının veya f_1 ve f_3 frekanslarının geometrik ortalaması olarak seçilen bir IQ frekansında $Z_1 Z_2 = f$ şartı kullanılarak

$$\frac{f_1^2}{f_2^2} = 0.2 \\ -\frac{f_2^2}{f_3^2} = 1 \quad (8)$$

de $f_3 = -Z_2$ şartı kullanılarak
 $s =$

$$k_2 = (4 (\frac{f_1^2}{f_2^2} - 0.2))^{1/2} \quad (9)$$

elde edilir. (8) ve (9) denklemelerinden k_1 ve k_2 bulunduktan sonra şekil 3'deki devre elemanları

$$L_2 = k_2 \quad (10)$$

$$C_0 = 1 / k_1 \quad (11)$$

$$L_1 * k_1 / < \quad (12)$$

$$= 1 / \quad (13)$$

denklemleri yardımcıla hesaplanır.

Bundan sonra şekil 7a daki ir hücreye geçirilir. Bu suretle elde edilen hücre empe-dansı, 2Li bir kuartz kristal ile kolaylıkla elde edilebilecek bir değere sahip olacak şekilde yükseltilir. Genellikle süzgeçin bağlanacağı devrenin impedansı bu impedans yanında küçük olacağının L_2 bobinleri birer transformatör şeklinde sarılmak suretiyle impedans uygunluğu sağlanır. $Cg/2$ kondansatörü, kuartz kristali paralel kondansatörünü hesap sonucu bulunan $Cg/2$ değerine tamamlar.

b. AĞ tipte band söndüren süzgeç

Bu halde şekil 1, şekil 5 ve şekil 6 göz önünde tutularak

$$= k_1 s \quad (14)$$

$$Z_1 = k_1 \cdot \frac{(s^2 + u_r^2)}{(s^2 o_r^2) s} \quad (15)$$

yazılabilir. Şekil 6 dan $s = jo_>_1$ ve $s = jo_>_3$ için $Z_1 = -Z_2$ olduğu görülmektedir. Buna göre (14) ve (15) den faydalılarak f_1 için

$$f_1 = \frac{f_0}{\sqrt{\frac{2}{\infty^2} - \frac{2}{2^2}}} \quad (16)$$

bulunur. f_2 frekansı söndürülmek istenen bantın içinde kalmalı ve haber tarafından kullanılan frekans bantından kâfi uzaklıkta olmalıdır.

Empedans şartından ÜG tipte süzgece benzer şekilde

$$k_1 k_2 (u_2^2 - u_1^2) / (o_2^2 - o_1^2) = 1 \quad (17) s$$

$= jo_>_3$ de $Z_1 = -Z_2$ olması şartından da

$$(o_2^2 - o_1^2)^{1/2} = \frac{f_1^2}{f_2^2} \quad (18)$$

bulunur. Son iki denklemden k_1 ve k_2 elde edildikten sonra şekil 5 deki devreye ait eleman değerleri

$$C = 1/k_2 L_2 = k_2$$

(19)

$$\begin{pmatrix} \ddot{u} & \ddot{u} & \ddot{u} \\ 2 & & \end{pmatrix}$$

$$C_2 = -u^2$$

(20)

$$CV2C$$

(21)

(2V>

(22)

$$P_2$$

\ddot{u}

$$P_2$$

$$\begin{pmatrix} & & \\ 0 & 0 & \end{pmatrix}$$

0

$$\begin{matrix} \ddot{u} & \\ \ddot{u} & 0 \end{matrix}$$

\ddot{u}

\ddot{u}

:

$$\begin{matrix} \ddot{u} & \\ 2 & \ddot{u} \end{matrix}$$

20

\hat{u}

\ddot{u}

$$0$$

$$0$$

\ddot{u}

0

0 0 2

P

\ddot{u}

\ddot{u}

$$()$$

$$3$$

$$0$$

$$0$$

$$2$$

$$f - f_2 = C_1/2C_0$$

(23)

\ddot{u}

bağıntısı göz önünde bulundurularak
f2'yi seçerken Co'm bir kuartz kristal ile
el-

\ddot{u}

\ddot{u}

'

0

0

2

TT

\ddot{u}

2

Şekil 11.

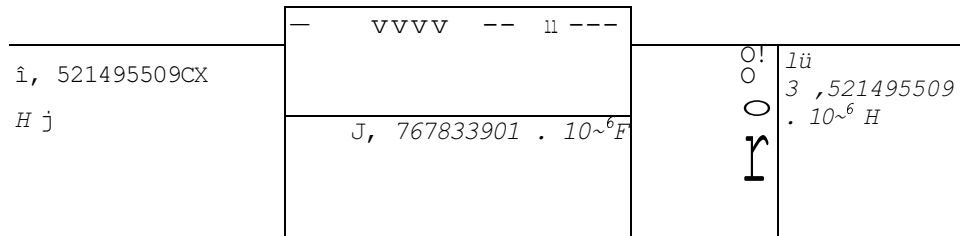
288

$$6,914589. \quad 19 \quad \underline{\bullet^{10} \sim' rK7' | rr} \quad ..3.393400379 .IO \sim' F$$

$$\frac{\text{III} \quad \hat{3,54109144}»}{\hat{3,541091445}} \quad \boxed{J \quad \boxed{\begin{matrix} O & O & O \\ O & O & O \end{matrix}}} \quad \boxed{I \quad \hat{3,541091445}}$$

1 , 493420838. 10' ^J H
 .4, 15065449 . 10⁻⁹ F

Şekil 12.



30

Seri kollarda kuartz kristal kullanılmasını mümkün kılmak üzere süzgeç empedansları $Z=15$ kfi'a yükseltilmiştir. Bu durumda birinci hücre için kristal endüktansı $10,4$ H ikinci hücre için ise $22,4$ H bulunur.

Şekil 11 ve şekil 12'deki hücrelere ait teorik zayıflama eğrileri şönt bobinler için $Q=300$, kuartz kristaller için 30.000 alınmak koşulu ile sırasıyla Şekil 13 ve 14'deki gibi elde edilmektedir.

Bu iki süzgeç peşpeşe bağlandıktan sonra 150 ii'luk giriş ve çıkış empedanslarını elde etmek üzere iki uçtaki şönt bobinler birer transformatör haline getirilmişlerdir. Şekil 15'de 64 ve 104 kHz frekanslarını söndüren süzgeç görülmektedir.

dB

(O

35

30

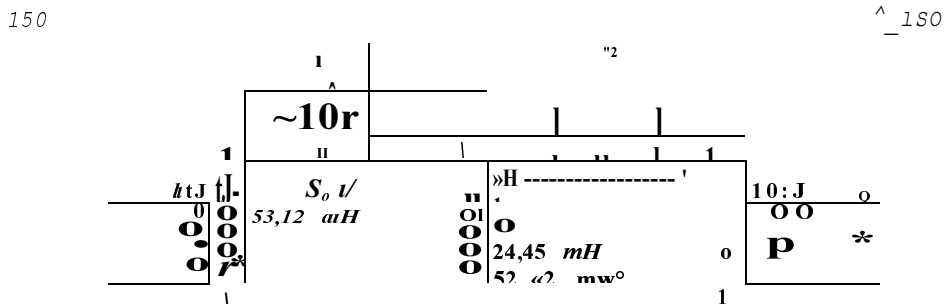
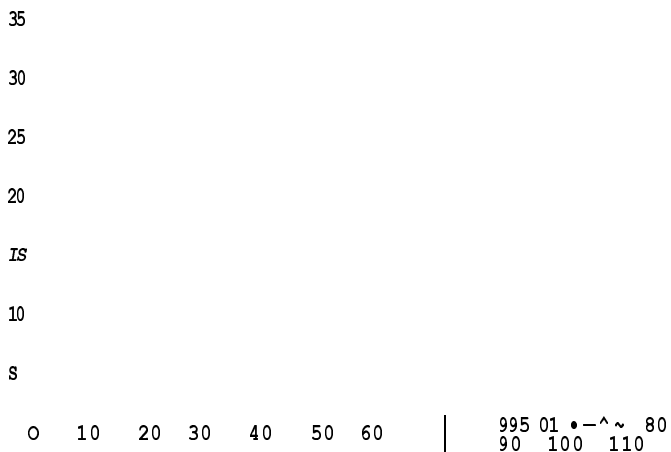
25

20

10 S

10 20 30 40 50 60 70 «O 90 100VJPV110 kHz

Şekil 13.



Şekil 15.

K₁ vt K; kristalleri sırasıyla endüktansları 11, A ve 22,4 H olan ve rezortans frekansları 03.900 Hz ve 63.925 Hz'e ayarlanmış bulunan kuartz kristallerdir. Mevzu bahis frekans bandında bu kristaller $\pm 5^\circ$ kesitinde elde olunurlar, madeni muhafaza içince bulunmaktadırlar.

C'oi/2 ve C02/2 kondansatörleri kristal paralel kapasitansını hesap sonucu bulunan değerler tanamış olarak paralel rezonans frekansının 104 kHz ve 64 kHz'de bulunmasını sağlar.

PTT Araşf.rma Laboratuvarında yukarıda anlatılan metodla hesap edilerek geliştirili-

len bu süzgeçler başarı ile kullanılmaktadır.

KAYNAKLAR

- {1} Colin, J.E.t "Structures de Filtres à Deux Bras et à Trois Pulsations de Coupure", Cables et Transmission 1957 N.3.
- {2} Colin, J. E.; ve P. Alemandou, "Filtres coupe-Bande Spéciaux à Cristaux Piezoelectriques". Cables et Transmission 1962, N.4.

